



**Министерство науки и высшего образования Российской
Федерации**
**Федеральное государственное бюджетное образовательное
учреждение высшего образования**
**«Московский государственный технический университет
имени Н.Э. Баумана**
(национальный исследовательский университет)»
(МГТУ им. Н.Э. Баумана)

ФАКУЛЬТЕТ «Информатика и системы управления»

КАФЕДРА «Программное обеспечение ЭВМ и информационные технологии»

ОТЧЕТ ПО ЛАБОРАТОРНОЙ РАБОТЕ №4

Студент _____ Соколов Ефим _____
Группа _____ ИУ7-63Б _____
Дисциплина _____ Моделирование _____

Преподаватель:

_____ Градов В.М.
подпись, дата Фамилия, И.О.

Оценка _____

Москва — 2021 г.

Цель работы

Получение навыков разработки алгоритмов решения смешанной краевой задачи при реализации моделей, построенных на квазилинейном уравнении параболического типа.

Постановка задачи

Задана математическая модель. Уравнение для функции $T(x, t)$.

$$c(T) \frac{\partial T}{\partial t} = \frac{\partial}{\partial x} (k(T) \frac{\partial T}{\partial x}) - \frac{2}{R} \alpha(x) T + \frac{2T_0}{R} \alpha(x) \quad (1)$$

Краевые условия:

$$\begin{cases} t = 0, T(x, 0) = T_0, \\ x = 0, -k(T(0)) \frac{\partial T}{\partial x} = F_0, \\ x = l, -k(T(l)) \frac{\partial T}{\partial x} = \alpha_N(T(l) - T_0) \end{cases}$$

В обозначениях уравнения лекции:

$$p(x) = \frac{2}{R} \alpha(x), f(u) = f(x) = \frac{2T_0}{R} \alpha(x).$$

Разностная схема с разностным краевым условием при $x = 0$:

$$\hat{A}_n \hat{y}_{n-1} - \hat{B}_n \hat{y}_n + \hat{D} \hat{y}_{n+1} = -\hat{F}_n \quad (2)$$

$$\begin{aligned} (\frac{h}{8} \hat{c}_{\frac{1}{2}} + \frac{h}{4} \hat{c}_0 + \hat{\chi}_{\frac{1}{2}} \frac{\tau}{h} + \frac{\tau h}{8} p_{\frac{1}{2}} + \frac{\tau h}{4} p_0) \hat{y}_0 + (\frac{h}{8} \hat{c}_{\frac{1}{2}} - \hat{\chi}_{\frac{1}{2}} \frac{\tau}{h} + \frac{\tau h}{8} p_{\frac{1}{2}}) \hat{y}_1 = \\ = \frac{h}{8} \hat{c}_{\frac{1}{2}} (y_0 + y_1) + \frac{h}{4} \hat{c}_0 y_0 + \hat{F} \tau + \frac{\tau h}{4} (\hat{f}_{\frac{1}{2}} + \hat{f}_0) \end{aligned} \quad (3)$$

Разностная схема с разностным краевым условием при $x = l$:

$$\int_{x_{N-\frac{1}{2}}}^{x_N} dx \int_{t_m}^{t_{m+1}} c(T) \frac{\partial T}{\partial t} dt = \int_{x_{N-\frac{1}{2}}}^{x_N} dx \int_{t_m}^{t_{m+1}} f(x) dt - \int_{t_m}^{t_{m+1}} dt \int_{x_{N-\frac{1}{2}}}^{x_N} \frac{\partial F}{\partial x} dx - \int_{x_{N-\frac{1}{2}}}^{x_N} dx \int_{t_m}^{t_{m+1}} p(x) T dt \quad (4)$$

Применим метод правых прямоугольников для интегралов из правой части:

$$\int_{x_{N-\frac{1}{2}}}^{x_N} \hat{c}(\hat{T} - T) dx = \int_{x_{N-\frac{1}{2}}}^{x_N} \hat{f} \tau dx - \int_{t_m}^{t_{m+1}} (F_N - F_{N-\frac{1}{2}}) dt - \int_{x_{N-\frac{1}{2}}}^{x_N} p \hat{T} \tau dx \quad (5)$$

Интеграл $\int_{t_m}^{t_{m+1}} (F_N - F_{N-\frac{1}{2}}) dt$ решим с помощью метода правых прямоугольников, а оставшиеся методом трапеций:

$$\begin{aligned} & \frac{h}{4} [\hat{c}_N (\hat{y}_N - y_N) + \hat{c}_{N-\frac{1}{2}} (\hat{y}_{N-\frac{1}{2}} - y_{N-\frac{1}{2}})] = \\ & = \frac{h}{4} \tau (\hat{f}_N - \hat{f}_{N-\frac{1}{2}}) - \tau (\hat{F}_N - \hat{F}_{N-\frac{1}{2}}) - \frac{h}{4} \tau (p_N \hat{y}_N + p_{N-\frac{1}{2}} \hat{y}_{N-\frac{1}{2}}) \end{aligned} \quad (6)$$

Подставим в выражения для потока:

$$\begin{aligned} & \frac{h}{4} [\hat{c}_N (\hat{y}_N - y_N) + \hat{c}_{N-\frac{1}{2}} (\frac{\hat{y}_N + \hat{y}_{N-1}}{2} - \frac{y_N + y_{N-1}}{2})] = \\ & = \frac{h}{4} \tau (\hat{f}_N - \hat{f}_{N-\frac{1}{2}}) - \tau (\alpha_N (\hat{y}_N - T_0) - \hat{\chi}_{N-\frac{1}{2}} \frac{\hat{y}_{N-1} - \hat{y}_N}{h}) - \\ & \quad - \frac{h}{4} \tau (p_N \hat{y}_N + p_{N-\frac{1}{2}} \frac{\hat{y}_N + \hat{y}_{N-1}}{2}) \end{aligned} \quad (7)$$

Приведем к общему виду:

$$\begin{aligned} & (\frac{h}{4} \hat{c}_N + \frac{h}{8} \hat{c}_{N-\frac{1}{2}} + \alpha_N \tau + \frac{\tau}{h} \chi_{N-\frac{1}{2}} + \frac{h}{4} \tau p_N + \frac{h}{8} \tau p_{N-\frac{1}{2}}) y_N + \\ & \quad + (\frac{h}{8} \hat{c}_{N-\frac{1}{2}} - \frac{\tau}{h} \chi_{N-\frac{1}{2}} + \frac{h}{8} \tau p_{N-\frac{1}{2}}) y_{N-1} = \\ & = \frac{h}{4} \hat{c}_N y_N + \frac{h}{8} \hat{c}_{N-\frac{1}{2}} (y_N + y_{N-1}) + \tau \alpha_N T_0 + \frac{h}{4} \tau (\hat{f}_N + \hat{f}_{N-\frac{1}{2}}) \end{aligned} \quad (8)$$

Применим простую аппроксимацию:

$$p_{N-\frac{1}{2}} = \frac{p_N + p_{N-1}}{2}, \hat{f}_{N-\frac{1}{2}} = \frac{\hat{f}_N + \hat{f}_{N-1}}{2}, \hat{c}_{N-\frac{1}{2}} = \frac{\hat{c}_N + \hat{c}_{N-1}}{2}$$

Если $c(u) = 0$ и сократить τ формула (8) перейдет формулу для разностного краевого условия при $x = l$ из предыдущей лабораторной работы.

Значения параметров для отладки (все размерности согласованы):

$$k(T) = a_1(b_1 + c_1 T^{m_1}),$$

$$c(T) = a_2 + b_2 T^{m_2} - \frac{c_2}{T^2},$$

$$a_1 = 0.0134, b_1 = 1, c_1 = 4.35 * 10^{-4}, m_1 = 1,$$

$$a_2 = 2.049, b_2 = 0.563 * 10^{-3}, c_2 = 0.528 * 10^5, m_2 = 1,$$

$$\alpha(x) = \frac{c}{x - d}, \alpha_0 = 0.05, \alpha_N = 0.01,$$

$$l = 10, T_0 = 300, R = 5,$$

$$F(t) = 50.$$

Листинг кода

На листинге 1 приведен код программы на языке Python 3.

```
1 import matplotlib.pyplot as plt
2 import numpy as np
3 from math import fabs
4
5 a1 = 0.0134
6 b1 = 1
7 c1 = 4.35e-4
8 m1 = 1
9 a2 = 2.049
10 b2 = 0.563e-3
11 c2 = 0.528e5
12 m2 = 1
13 alpha0 = 0.05
14 alphaN = 0.01
15 l = 10
16 T0 = 300
17 R = 0.5
18 F0 = 50
19 h = 1e-3
20 t = 1
21
```

```

22 def k(T):
23     return a1 * (b1 + c1 * T ** m1)
24
25
26 def c(T):
27     return a2 + b2 * T ** m2 - (c2 / T ** 2)
28
29
30 def alpha(x):
31     d = (alphaN * l) / (alphaN - alpha0)
32     c = - alpha0 * d
33     return c / (x - d)
34
35
36 def p(x):
37     return 2 * alpha(x) / R
38
39
40 def f(x):
41     return 2 * alpha(x) * T0 / R
42
43
44 def func_plus_half(x, step, func):
45     return (func(x) + func(x + step)) / 2
46
47
48 def func_minus_half(x, step, func):
49     return (func(x) + func(x - step)) / 2
50
51
52 def A(T):
53     return t / h * func_minus_half(T, t, k)
54
55
56 def D(T):
57     return t / h * func_plus_half(T, t, k)
58
59
60 def B(x, T):
61     return A(T) + D(T) + c(T) * h + p(x) * h * t
62

```

```

63
64 def F(x, T):
65     return f(x) * h * t + c(T) * T * h
66
67
68 def left_boundary_condition(T_prev):
69     K0 = h / 8 * func_plus_half(T_prev[0], t, c) + h / 4 * c(
70         T_prev[0]) + \
71         func_plus_half(T_prev[0], t, k) * t / h + \
72         t * h / 8 * p(h / 2) + t * h / 4 * p(0)
73     M0 = h / 8 * func_plus_half(T_prev[0], t, c) - \
74         func_plus_half(T_prev[0], t, k) * t / h + \
75         t * h * p(h / 2) / 8
76     P0 = h / 8 * func_plus_half(T_prev[0], t, c) * (T_prev[0] +
77         T_prev[1]) + \
78         h / 4 * c(T_prev[0]) * T_prev[0] + \
79         F0 * t + t * h / 8 * (3 * f(0) + f(h))
80     return K0, M0, P0
81
82 def right_boundary_condition(T_prev):
83     KN = h / 8 * func_minus_half(T_prev[-1], t, c) + h / 4 * c(
84         T_prev[-1]) + \
85         func_minus_half(T_prev[-1], t, k) * t / h + t * alphaN +
86         \
87         t * h / 8 * p(l - h / 2) + t * h / 4 * p(l)
88     MN = h / 8 * func_minus_half(T_prev[-1], t, c) - \
89         func_minus_half(T_prev[-1], t, k) * t / h + \
90         t * h * p(l - h / 2) / 8
91     PN = h / 8 * func_minus_half(T_prev[-1], t, c) * (T_prev[-1]
92         + T_prev[-2]) + \
93         h / 4 * c(T_prev[-1]) * T_prev[-1] + t * alphaN * T0 + \
94         t * h / 4 * (f(l) + f(l - h / 2))
95     return KN, MN, PN
96
97 def run(T_prev, K0, M0, P0, KN, MN, PN):
98     eps = [0, -M0 / K0]
99     eta = [0, P0 / K0]
100     x = h
101     n = 1

```

```

99
100 while (x + h < l):
101     eps.append(D(T_prev[n]) / (B(x, T_prev[n]) - A(T_prev[n])
102         * eps[n]))
103     eta.append((F(x, T_prev[n]) + A(T_prev[n]) * eta[n]) / (B
104         (x, T_prev[n]) - A(T_prev[n]) * eps[n]))
105     n += 1
106     x += h
107
108 y = [0] * (n + 1)
109 y[n] = (PN - MN * eta[n]) / (KN + MN * eps[n])
110 for i in range(n - 1, -1, -1):
111     y[i] = eps[i + 1] * y[i + 1] + eta[i + 1]
112
113 return y
114
115 def main():
116     step1 = int(l / h)
117     T = [T0] * (step1 + 1)
118     T_new = [0] * (step1 + 1)
119     ti = 0
120     res = []
121     res.append(T)
122
123 while True:
124     prev = T
125     while True:
126         K0, M0, P0 = left_boundary_condition(prev)
127         KN, MN, PN = right_boundary_condition(prev)
128         T_new = run(prev, K0, M0, P0, KN, MN, PN)
129         max = fabs((T[0] - T_new[0]) / T_new[0])
130
131         for step2, j in zip(T, T_new):
132             d = fabs(step2 - j) / j
133             if d > max:
134                 max = d
135         if max < 1:
136             break
137
138     prev = T_new

```

```

138
139     res.append(T_new)
140     ti += t
141
142     check_eps = 0
143     for i, j in zip(T, T_new):
144         if fabs((i - j) / j) > 1e-2:
145             check_eps = 1
146     if check_eps == 0:
147         break
148     T = T_new
149
150     x = [i for i in np.arange(0, l, h)]
151     te = [i for i in range(0, ti, t)]
152     step1 = 0
153     for i in res:
154         if (step1 % 2 == 0):
155             plt.plot(x, i[:-1])
156             step1 += 1
157
158     plt.plot(x, res[-1][:-1])
159     plt.xlabel("x, cm")
160     plt.ylabel("T, K")
161     plt.grid()
162     plt.show()
163
164     step2 = 0
165     while (step2 < l / 3):
166         point = [j[int(step2 / h)] for j in res]
167         plt.plot(te, point[:-1])
168         step2 += 0.1
169
170     plt.xlabel("t, sec")
171     plt.ylabel("T, K")
172     plt.grid()
173     plt.show()
174
175
176 if __name__ == "__main__":
177     main()

```

Листинг 1: Код программы

Выполнение заданий лабораторной работы

Представить разностный аналог краевого условия при $x = l$ и его краткий вывод интегро-интерполяционным методом

Вывод разностный аналог краевого условия при $x = l$ приведен выше (уравнения (4)-(8)).

График зависимости температуры $T(x, t_m)$ от координаты x при нескольких фиксированных значениях времени t_m (аналогично рисунку в лекции) при заданных выше параметрах. Обязательно представить распределение $T(x, t_m)$ в момент времени, соответствующий установившемуся режиму, когда поле перестает меняться с некоторой точностью т.е. имеет место выход на стационарный режим. На этой стадии левая часть дифференциального уравнения близка к нулю. График зависимости $T(x_n, t)$ при нескольких фиксированных значениях координаты x_n . Обязательно представить случай $n = 0$, т.е. $x = x_0 = 0$.

На рисунке 1 приведены графики зависимости температуры $T(x, t_m)$ от координаты x при нескольких фиксированных значениях времени t_m .

На рисунке 2 приведены графики зависимости $T(x_n, t)$ при нескольких фиксированных значениях координаты x_n .

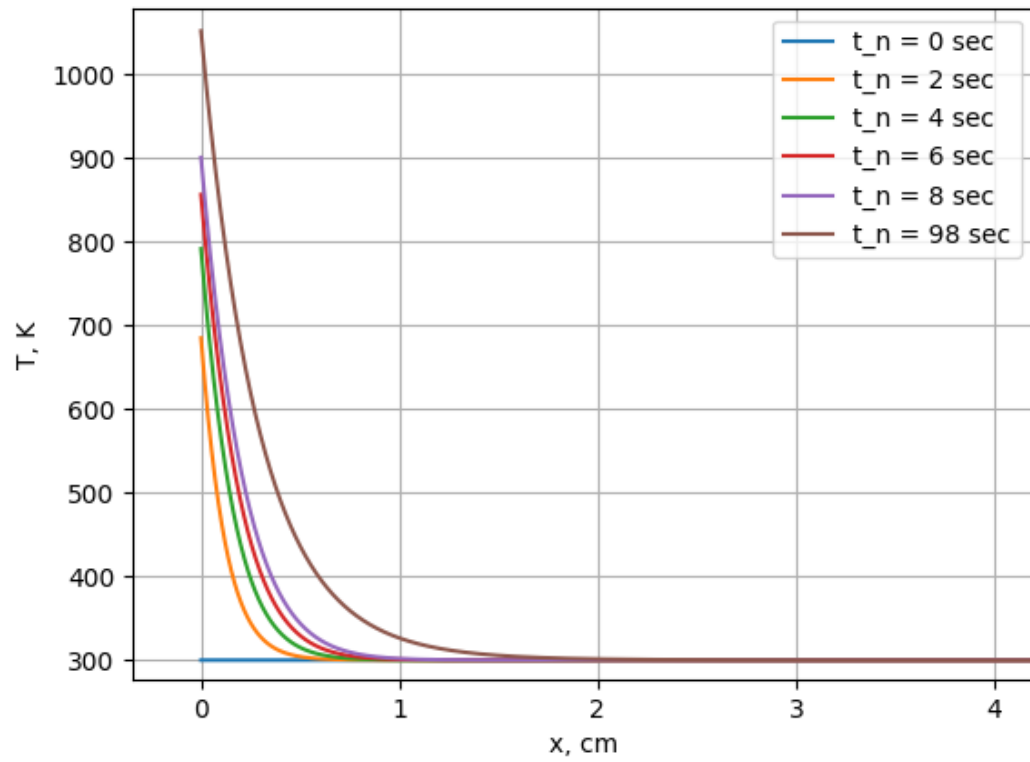


Рисунок 1: Графики зависимости $T(x, t_m)$

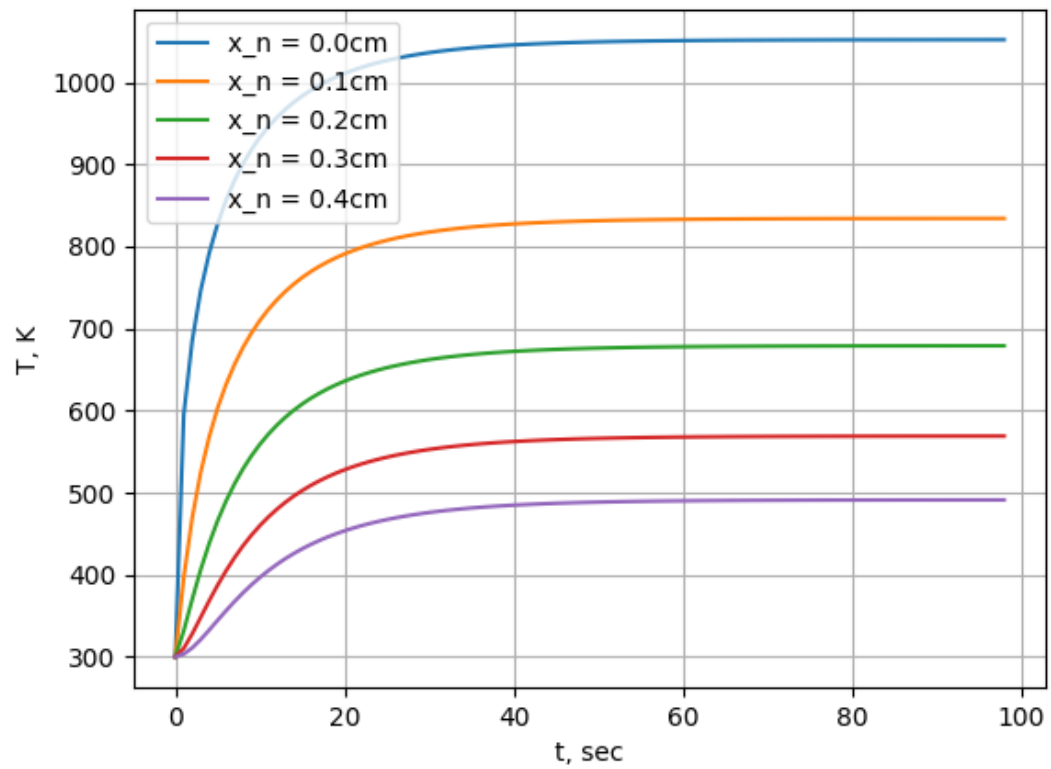


Рисунок 2: Графики зависимости $T(x_n, t)$

Ответы на контрольные вопросы

1. Приведите результаты тестирования программы (графики, общие соображения, качественный анализ)

1. При отрицательном тепловом потоке (например, при $F = -5$) слева идет сьем тепла. На рисунках 3 и 4 приведены графики зависимости температуры от координаты и от времени, соответственно.

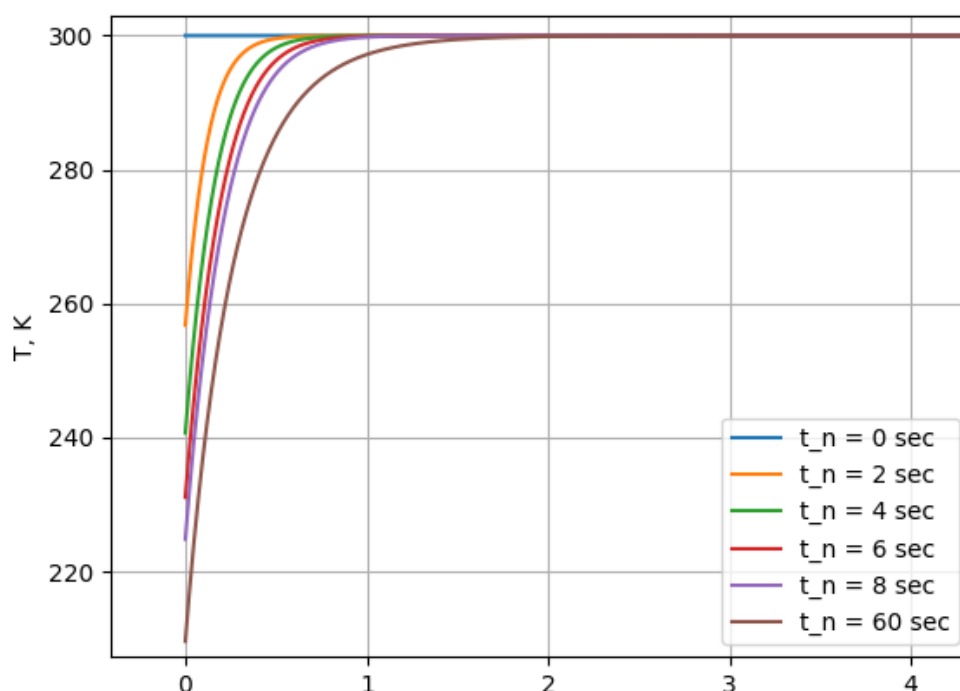


Рисунок 3: Графики зависимости $T(x, t_n)$ при $F = -5$

2. Если тепловой поток равен нулю ($F = 0$), то температура стержня будет равняться температуре окружающей среды, $T = 300$ (см. рис. 5).
3. Если после разогрева стержня сделать тепловой поток равным 0, то стержень будет остывать пока температура не выровняется по всей длине и не станет равной температуре окружающей среды (см. рис. 6).
4. При произвольной зависимости потока $F(t)$ от времени температурное поле будет как-то сложным образом отслеживать поток (см.

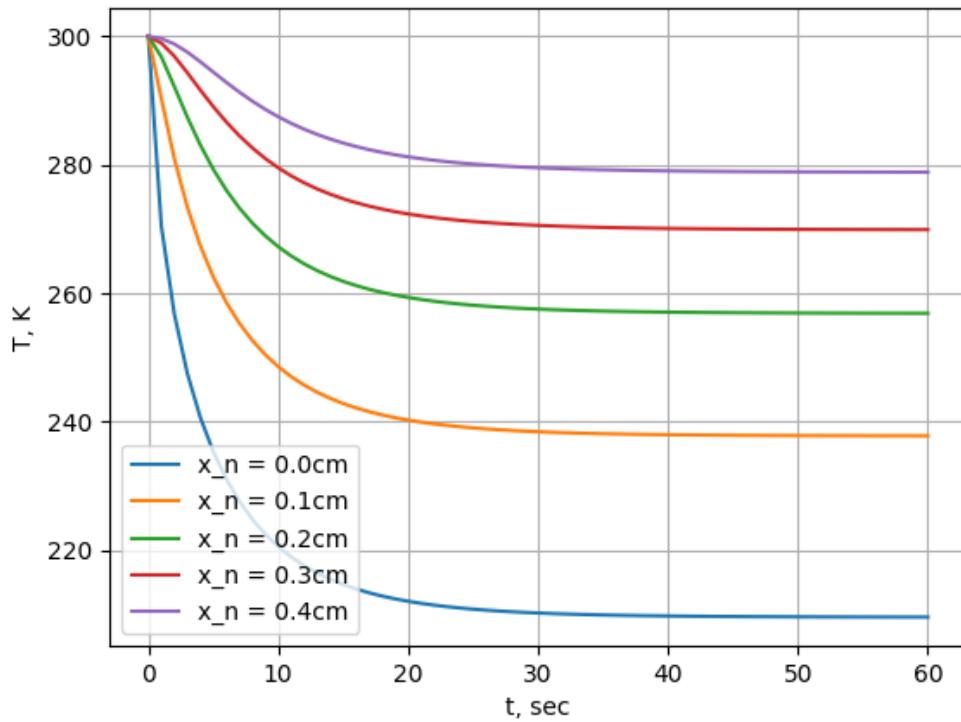


Рисунок 4: Графики зависимости $T(x_n, t)$ при $F = -5$

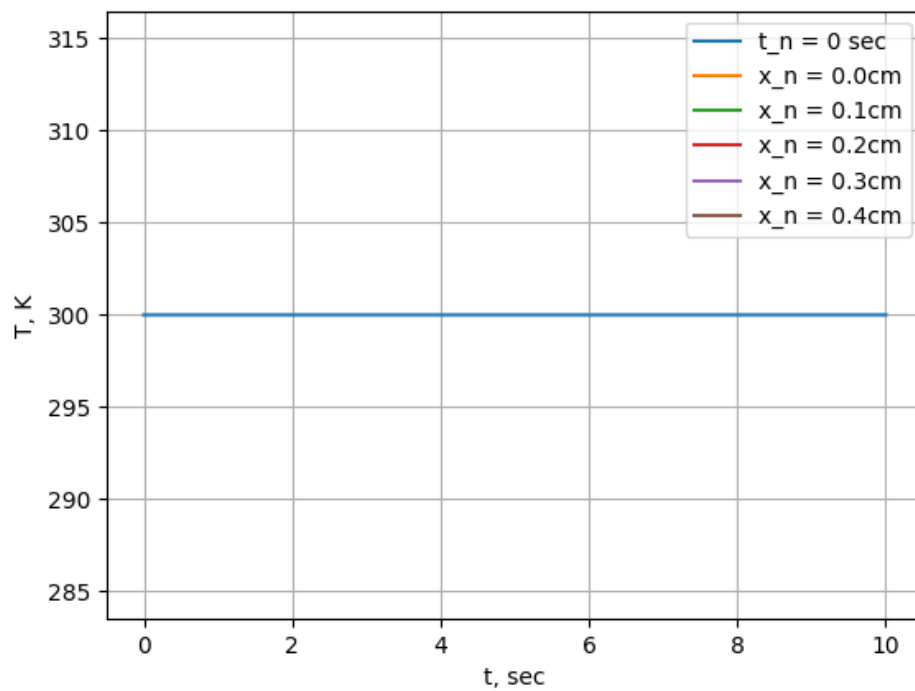


Рисунок 5: Графики зависимости $T(x_n, t)$ при $F = 0$ (все графики совпадают)

рис. 7). На рисунке 8 приведен график зависимости теплового потока от времени (поток линейно изменялся со значения $F = 50$ до $F = -5$ и затем фиксировался на этом значении).

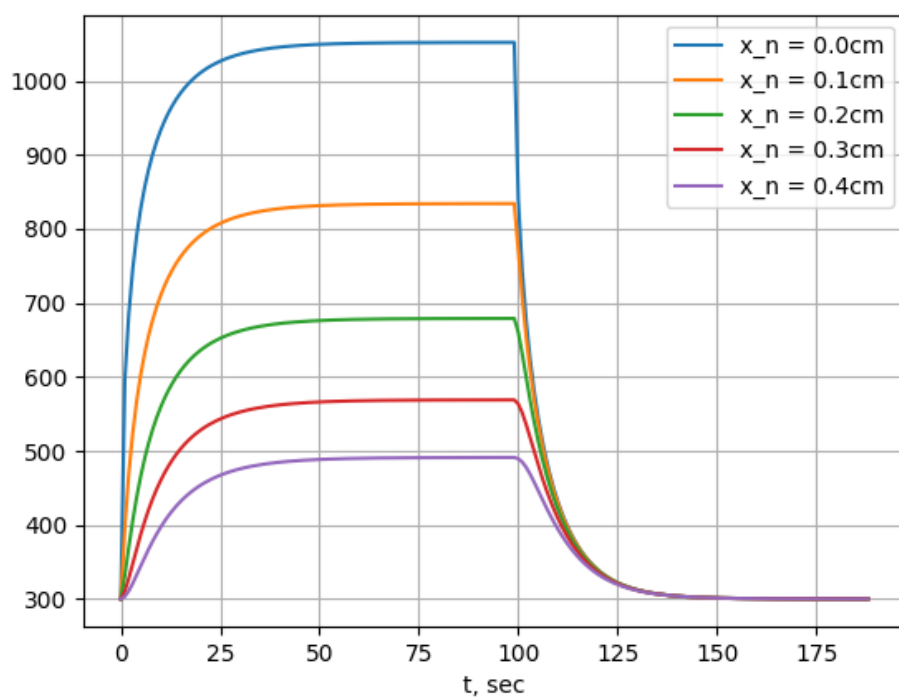


Рисунок 6: Графики зависимости $T(x_n, t)$

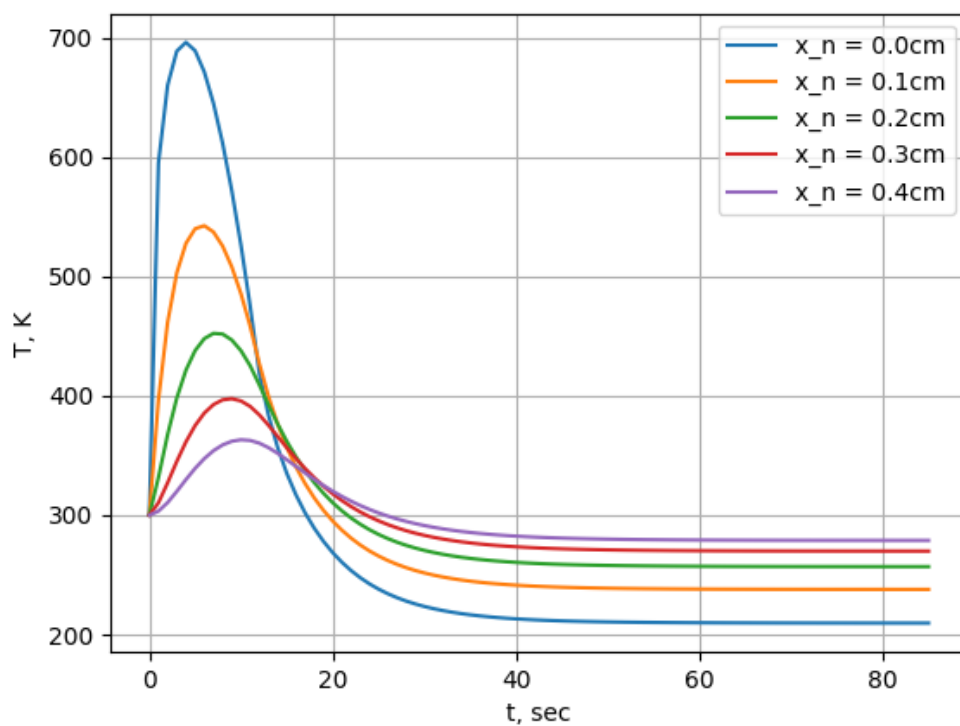


Рисунок 7: Графики зависимости $T(x_n, t)$ при изменяющемся значении $F(t)$

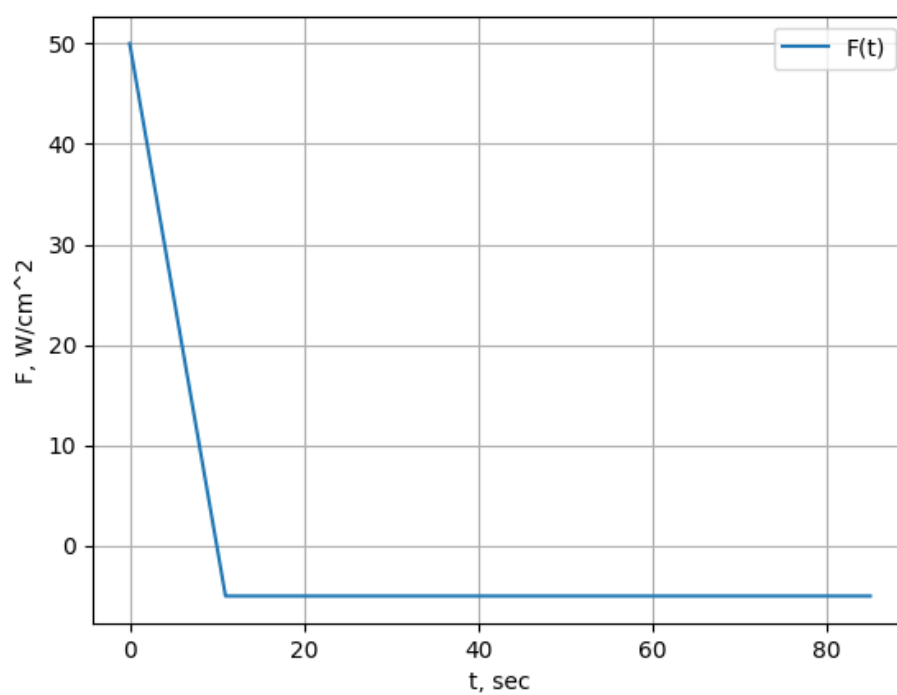


Рисунок 8: Графики зависимости $F(t)$